

(601)

直接焼入れ過程における鋼の焼入性に及ぼすボロンの影響

川崎製鉄株 鉄鋼研究所 ○小関智也, 今中誠

工博 寺嶋久栄, 工博 志賀千晃

1. 緒言 80 kgf/mm^2 級高張力鋼を直接焼入れ(DQ)する場合に、圧延終了後焼入れまでの過程で γ 粒およびBの分布状態が動的に変化し、それに伴って鋼の焼入性が変化することをすでに報告した。¹⁾ここでは、DQ過程での γ の再結晶挙動をBの分布状態と関連づけ、鋼の焼入性の変化を説明しうる基本モデルを提案するとともに、本モデルに影響を与える諸因子についての検討結果もあわせて報告する。

2. 実験方法 Table.1に示すN量を変化させた2

種類の100kg鋼塊を真空溶製し、 $50 \text{ mm} \times 50 \text{ mm} \times 150 \text{ mm}$ の小型試験片を作成した。本試験片を1150°Cに1hr保持後、900°Cで30mmに1パス圧延し、一定時間保持してから10°C/sの冷却速度で焼入れ

た。焼入れまでの保持時間は3, 30および180sとした。焼入れまでの状態で引張試験、光学顕微鏡による γ 粒観察、FT-E法によるB分布観察、さらに、赤外線吸収スペクトル法でのB析出物の量および加工フォーマスマスクでの γ 粒再結晶挙動を調べた。また、スラブ加熱温度、圧延仕上げ温度、焼入れ冷却速度や鋼の組成が本モデルに与える影響についても検討した。

3. 実験結果 本実験結果と既報告の結果に基づいて、圧延後焼入れまでの時間経過に伴う γ 粒、Bの存在状態および分布の動的変化と焼入性の変化はFig.1(a)に示すように模式的に表わされる。

すなわち、Stage Iは圧延直後の伸長した変形 γ 粒界および変形帶にBが偏析した状態であり、焼入性は高い。Stage IIは再結晶途上であり、新しく形成された粒界にBが十分偏析しておらず、焼入性はStage Iに比べて低い。Stage IIIは、再結晶が完了した状態であり、再結晶 γ 粒界にBが十分再偏析し、焼入性は最も高い。Stage IVは長時間経過した状態であり、粒内にB析出物が析出して γ 粒界の固溶B量が減じ焼入性は再び低下する。

上述の時間経過に伴う γ 粒、B分布や焼入性の変化はFig.1(b)に示すようにN量によって影響を受ける。Fig.2は加工フォーマスマスクで γ 粒の再結晶挙動を調べた結果であり、ここでもN量の低減による再結晶の遅延が認められる。これはN量の低減を介しての固溶B量の増加によると推察される。

4. 結言 DQ型B添加高張力鋼の圧延後焼入れまでの過程における焼入性の変化について、基本モデルを提案した。また、粒界上に偏析する固溶B量の増加は、再結晶を遅延させることが示唆された。

5. 参考文献 1)たとえば、今中他：鉄と鋼，Vol. 70 (1984) S 684

Table.1 Chemical compositions of steels (wt %)

Steel	C	Si	Mn	Cu	Ni	Cr	Mo	V	A ℓ	B	N
A	0.11	0.26	0.80	0.25	1.01	0.50	0.20	0.039	0.027	0.0009	0.0037
B	0.12										0.0007

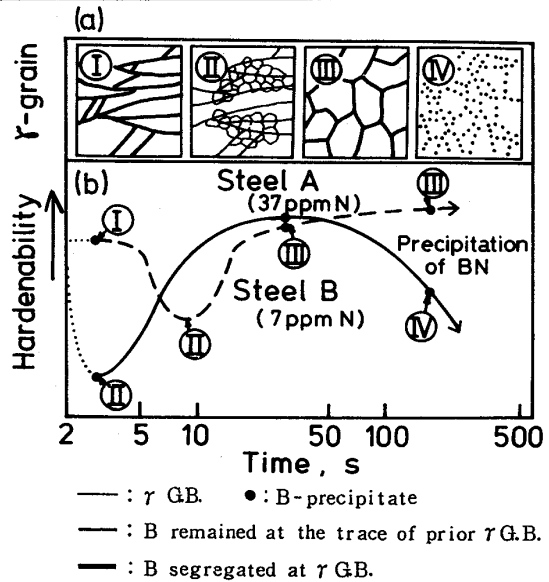
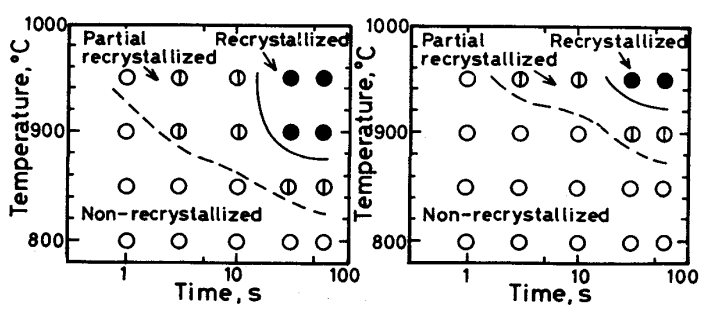
Fig.1 Schematic representations of γ -grain structure, B distributions and hardenability of steel.

Fig.2 Austenite recrystallization as a function of rolling temperature and time to quench after rolling.